

< 논문 >

SP-Creep 시험의 응력 및 변형을 환산에 의한 초임계압 발전설비용 9Cr1Mo강의 크리프 특성 평가

백승세[†] · 박정훈* · 유효선**
(2005년 8월 24일 접수, 2006년 6월 12일 심사완료)

Creep Characterization of 9Cr1Mo Steel Used in Super Critical Power Plant by Conversion of Stress and Strain for SP-Creep Test

Seung-Se Baek, Jung-Hun Park and Hyo-Sun Yu

Key Words: SP-Creep Test(소형편치-크리프 시험), Creep Characteristics(크리프 특성), Bearing Stress(베어링 응력), Power Law Relationship(멱급수 법칙의 관계), Creep Rate(크리프 속도), Rupture Time(파단 수명), Stress Exponent(응력지수), Larson-Miller Parameter(라슨 밀러 파라미터), 9Cr1Mo Steel

Abstract

Due to the need of increasing thermal efficiency, supercritical pressure and temperature have been utilized in power plants. It is well known that 9Cr1Mo steel is suitable for use in power plants operating at supercritical conditions. Therefore, to ensure the safety and the soundness of the power plant, creep characterization of the steel is important. In this study, the creep characterization of the 9Cr1Mo steel using small punch creep(SP-Creep) test has been described. The applied load and the central displacement of the specimen in SP-Creep test have been converted to bearing stress and strain of arc, respectively. The converted SP-Creep curves clearly showed the typical three-stage behavior of creep. The steady-state creep rate and the rupture time of the steel logarithmically changed with the bearing stress and satisfied the power law relationship. Furthermore, the Larson-Miller parameter of the SP-Creep test agreed with that of the tensile creep test. From the comparison with low Cr-Mo steels, the creep characteristics of 9Cr1Mo steel proved to be superior. Thus, it can be confirmed that the 9Cr1Mo steel is suitable for supercritical power plant.

1. 서론

현재까지 국내에서 가동 중인 화력발전 설비의 고온·고압부에서는 저 Cr-Mo 강계가 사용되어 왔으나, 최근 경제발전의 따른 전력수요에 호응하기 위한 발전소의 효율 증가를 위해 초임계 압력인 24.1 MPa, 566°C(1050°F)이 상용화되고 있는 상

태이다. 이러한 초임계압 증기조건에 따른 고온·고압부의 안전성을 증가시키기 위해 사용되는 재료로는 고온 크리프 강도 및 열피로 특성이 우수한 9~12% Cr-Mo 강계가 가장 적당한 재료로 평가받고 있다.^(1,2) 한편, 이러한 발전 설비 부재는 고온·고압 하에서 장시간 사용됨에 따라 점진적인 변형이 발생하여, 최후에는 파단에 이르게 되는 크리프가 발생하게 되므로^(3,4) 발전설비의 안전성 확보차원에서 이들 9~12% Cr-Mo 강계에 대한 크리프 특성 평가는 필수적이라 할 수 있다.

최근 보다 국부적인 부위에 대한 기계적 특성을 평가하기 위해 표준 규격에서 권장하고 있는 시험

[†] 책임저자, 회원, 전북대학교 대학원 정밀기계공학과
E-mail : baekse@chonbuk.ac.kr

TEL : (063)270-2346 FAX : (063)270-2388

* 회원, 전북대학교 대학원 정밀기계공학과

** 회원, 전북대학교 기계항공시스템공학부,
자동차신기술연구소

편에 비해 매우 작은 크기의 미소시험편을 사용하는 연구가 진행되어오고 있으며,^(5,6) 이중 소형편치 시험법(small punch test)을 응용한 SP-Creep(small punch creep) 시험법은 국내외의 연구 논문^(7,8)을 통하여 그 유용성과 우수성이 입증되고 있는 시험 방법이다. 그러나 SP-Creep 시험법은 우수한 유용성에도 불구하고 기존의 단축인장 크리프 시험과의 비교를 위한 응력-변형률의 환산이 어렵다는 문제점이 있어, 이를 해결하기 위하여 여러 가지 방향으로 연구가 진행되고 있지만 아직까지 만족할 만한 결과가 발표되고 있지 않은 상태이다.

본 연구에서는 미소 시험편을 이용한 SP-Creep 시험으로부터 얻어지는 작용하중과 중앙변위를 기초적인 재료역학적인 이론을 통해, 응력과 변형률로 환산하는 식을 제안하고자 한다. 또한, 초임계압용 재료인 9Cr1Mo강을 대상으로 SP-Creep 시험을 수행하여 얻어진 결과를 제안된 변환 식을 통하여 응력과 변형률로 환산함으로써 크리프 특성을 평가하고, 최종적으로 기존의 내열재료로 널리 사용된 1Cr0.5Mo강 및 2.25Cr1Mo강과의 비교를 통하여 9Cr1Mo강의 신뢰성을 확인하고자 한다.

2. 실험재료와 실험방법

2.1 실험재료와 시험편

본 연구에서 사용된 시험재료는 보일러용 주강벨브로 국내에서 개발된 9Cr1Mo 주조 강재이며, Table 1에 화학적조성이 나타나 있다. 비교를 위한 재료인 1Cr0.5Mo와 2.25Cr1Mo강의 화학적 조성도 함께 나타내었다.

SP-Creep 시험에 사용된 시험편은 소형편치 시험편의 일반적인 크기인 10×10×0.5mm로 하였으며, 두께의 오차범위는 ±1μm로 준비하였다. 또한 시험편이 매우 얇은 박판이므로 표면 거칠기의 영향을 최소화하기 위하여 #2000의 연마포를 이용하여 최종적으로 다듬질 하였다.

2.2 SP-Creep 실험방법

SP-Creep 시험을 위한 시험기는 본 대학에서 자체 설계하여 제작한 시험기⁽⁹⁾를 이용하였으며, 고온 시험을 위해 소형편치 시험편을 체결하는 Jig는 Inconel 재질로, 시험편에 하중을 직접 부하하는 ball은 직경 2.4mm의 세라믹 볼을 이용하였다. 또한 박판형 시험편에서 표면의 고온 산화에 따른 시험결과와의 오차를 최소화하기 위하여 모든 실험은 Ar 분위기 하에서 수행되었다. 크리프 시험 중 발생하는 미소변위는 최소 1μm까지 측정 가능한 LVDT를 이용하여 실시간적으로 기록되었다.

3. SP-Creep 변형의 응력과 변형률

일반적인 인장 크리프시험과 달리 SP-Creep 시험에서는 변형의 진행 및 시험편의 위치에 따라 응력과 변형률의 변화가 심하여 통상적인 응력과 변형률로 표현하기가 매우 까다롭다. 따라서 현재까지의 연구결과들은 작용하중 및 시험편의 중앙변위로서 그 결과를 나타내고 있다. 본 연구에서는 최대 접촉면적과 베어링 응력(bearing stress)을 고려하여 SP-Creep 시험에서의 응력을 환산하고, 3차원적인 변형형상을 2차원적으로 단순화하여 변형률을 환산하고자 한다.

3.1 SP-Creep 응력의 환산

일반적으로 볼트, 핀, 리벳 등은 구조물 내에서 베어링면 혹은 접촉면에 응력을 발생시킨다. 이러한 접촉면에서의 힘의 분포와 이에 따르는 응력분포는 해석하기가 곤란하여 실제적으로 베어링응력(bearing stress)이라 부르고 평균공칭응력 σ_b 를 사용하는데 이 σ_b 의 값은 작용하중(P)을 평판에 리벳을 투영한 면적(A_{proj})으로 나눈 값으로 정의된다. 즉, 베어링응력은 다음과 같다.

$$\sigma_b = P/A_{proj} \quad (1)$$

Table 1 Chemical compositions of Cr-Mo steels (wt%)

steel	C	Si	Mn	P	S	Ni	Cr	Mo	V	Al	N	Nb	Fe
9Cr1Mo	0.095	0.411	0.589	0.018	0.004	0.166	8.42	0.897	0.195	0.001	0.04	0.075	bal.
1Cr0.5Mo	0.13	0.22	0.54	0.13	0.05	-	1.00	0.54	-	-	-	-	bal.
2.25Cr1Mo	0.13	0.01	0.42	0.02	0.29	0.12	2.23	1.12	-	-	-	-	bal.

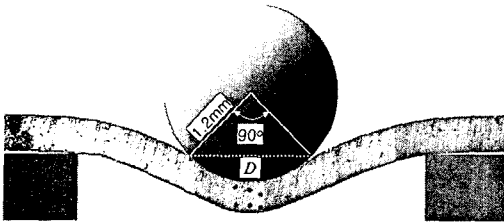


Fig. 1 Schematic diagram for SP-Creep deformation

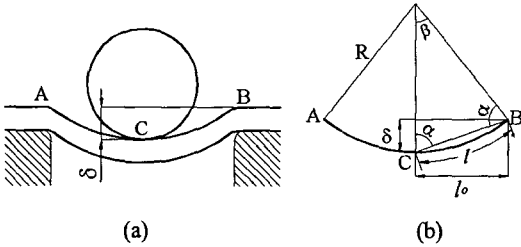


Fig. 2 Schematic diagram for SP-Creep strain

SP-Creep 시험의 경우, 정상상태 하에서 시험편의 변형형상과 볼(ball)을 개략적으로 도시하면 Fig. 1과 같다. 한편, 소형편치 시험에서 최대 응력은 소성막신장 영역에서 발생하며, 이때, 시험편과 볼의 최대 접촉각은 볼의 중앙을 기준으로 $\pi/4$ rad(45°)의 위치이다. SP-Creep 시험의 경우 정상상태 영역이 소성막신장 영역에 해당하므로, 정상상태에서 시험편과 ball이 접촉되는 투영면적은 Fig. 1의 점선의 길이 D 를 직경으로 하는 원이 된다. 따라서 점선의 길이 D 와 투영면적 A_{proj} 은 다음과 같이 얻을 수 있다.

$$D = 1.2 / \cos(\pi/4) \text{ mm} \quad (2)$$

$$A_{proj} = \pi \times D^2 / 4 \approx 2.262 \text{ mm}^2 \quad (3)$$

결국, SP-Creep 시험에서의 베어링 응력은 다음과 같이 환산할 수 있다.

$$\sigma_b = P / 2.262 \text{ MPa} \quad (4)$$

3.2 SP-Creep 변형률의 환산

SP-Creep 시험편의 변형 형상을 개략적으로 도시화하면 Fig. 2와 같이 나타낼 수 있다. 이때 변형은 ACB, 즉 SP-jig의 하부다이 홀 내에서만 발생하며, 시험편의 원주방향 및 두께방향의 변형률은 무시할 만하다고 가정하면, Fig. 2(b)와 같이 간략히 나타낼 수 있다. 따라서 SP-Creep 시험동

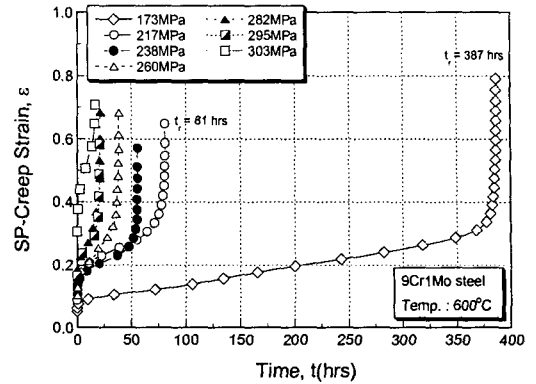


Fig. 3 SP-Creep curves for 9Cr1Mo steel at 600°C

안의 변형률은 시험편의 중앙변위 δ 에 따른 호 ACB의 변형률로부터 얻을 수 있게 된다. 즉, 변형률의 일반적인 정의로부터 초기 길이 l_0 와 변형후의 길이 l 을 이용하여 변형률 ϵ 은 아래의 식 (5)와 같다. 이때, 변형후의 길이 l 은 호 ACB의 곡률반경과 사잇각 β rad으로부터 다음의 (6)과 같이 얻을 수 있다.

$$\epsilon = (l - l_0) / l_0 \quad (5)$$

$$l = R \cdot \beta \text{ mm} \quad (6)$$

여기서, $R = (\delta^2 + l_0^2) / 2\delta$ mm

$$\beta = \sin^{-1}(l_0 / R) \text{ rad}$$

4. 실험결과 및 고찰

4.1 9Cr1Mo강의 SP-Creep 곡선 거동

9Cr1Mo강의 미소시험편을 대상으로, 600°C에서 얻어진 시간에 따른 시험편의 중앙변위를 앞에서 얻어진 식을 이용하여 변형률로 변환한 크리프 곡선은 Fig. 3과 같다. 미소시험편에 대한 시간(t)에 따른 SP-Creep 변형률의 전체적인 거동은 뚜렷한 3단계의 크리프 거동을 보이고 있으며, 외력의 증가에 따라 파단시간이 감소하는 응력의 의존성을 명확히 보이고 있다.

Fig. 4는 크리프 곡선의 온도에 따른 의존성을 확인하기 위하여, 베어링 응력 173 MPa에서 나타낸 결과이다. 보는 바와 같이 온도의 증가에 따라 파단시간이 급격하게 감소하고 있어, SP-Creep 곡선은 응력에 대한 의존성뿐만 아니라 온도에도 크게 의존함을 확인할 수 있다.

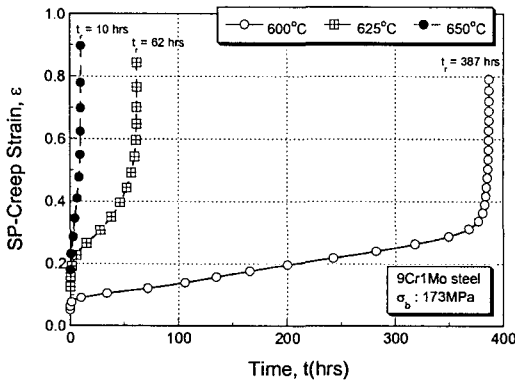


Fig. 4 SP-Creep curves for 9Cr1Mo steel at 173 MPa

4.2 9Cr1Mo강의 Power law 관계

일반적으로 크리프 외력과 정상상태 크리프 속도 및 파단시간은 대수함수적인 관계 즉, power law 관계가 성립한다. 초임계압용 내열강인 9Cr1Mo강의 SP-Creep 시험에서도 그러한 power law 관계를 살펴보았으며, 그 결과를 Fig. 5에 나타내었다. 호의 변형률 속도(SP-Creep rate) 및 파단수명에 대해 나타낸 Fig. 5를 보면 모든 시험은 도에서 응력의 변화에 따라, (a) SP-Creep 속도 및 (b) 파단수명이 대수 함수적으로 변화하여 power law 관계가 성립함을 확인할 수 있다. 이러한 관계도로부터 9Cr1Mo강의 SP-Creep 속도 ($\dot{\epsilon}_{ss}$) 및 파단시간(t_r)에 대한 power law 관계식은 아래의 식 (7) 및 (8)과 같이 얻을 수 있었다.

$$\begin{aligned}
 600^\circ\text{C} : \dot{\epsilon}_{ss} &= 1.77 \times 10^{-16} \cdot \sigma_b^{5.50} \\
 625^\circ\text{C} : \dot{\epsilon}_{ss} &= 5.64 \times 10^{-15} \cdot \sigma_b^{5.19} \\
 650^\circ\text{C} : \dot{\epsilon}_{ss} &= 1.58 \times 10^{-12} \cdot \sigma_b^{4.49}
 \end{aligned} \quad (7)$$

$$\begin{aligned}
 600^\circ\text{C} : t_r &= 1.05 \times 10^{15} \cdot \sigma_b^{-5.58} \\
 625^\circ\text{C} : t_r &= 2.02 \times 10^{14} \cdot \sigma_b^{-5.59} \\
 650^\circ\text{C} : t_r &= 2.67 \times 10^{13} \cdot \sigma_b^{-5.53}
 \end{aligned} \quad (8)$$

응력지수를 살펴보면 크리프 속도 및 파단수명 모두에서 약 5~6 정도의 값을 보이고 있다. 크리프 속도의 경우에는 그 차이는 크지 않지만, 시험 온도의 증가에 따라 지수 값이 감소하는 일반적인 경향을 보이고 있으나, 파단 수명의 경우에는 그러한 경향을 확인할 수 없었다.

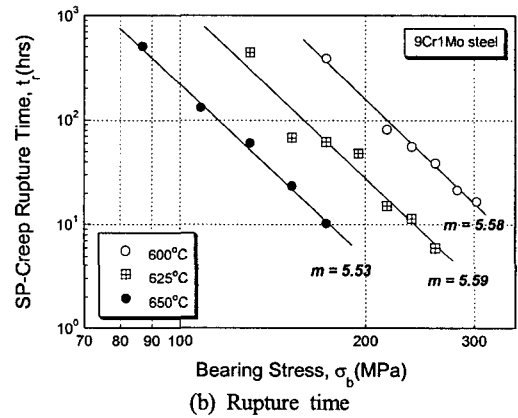
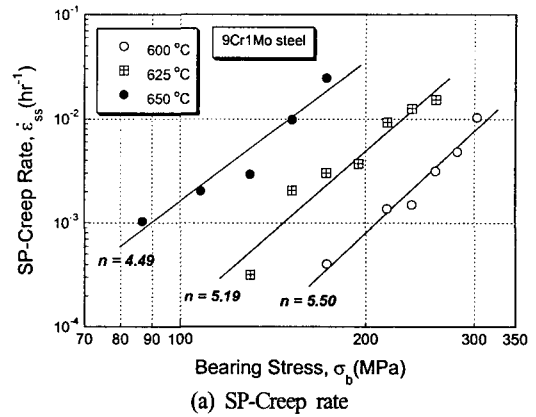


Fig. 5 Power law relationship of the SP-Creep test for 9Cr1Mo steel

4.3 Larson-Miller Parameter에 의한 9Cr1Mo강의 파단결과

LMP(Larson-Miller Parameter)는 크리프 파단데이터를 정리할 때 일반적으로 사용되는 것으로서 여러 온도에 대한 파단시간을 하나의 파라미터로 표현할 수 있다. 이러한 LMP를 이용하여 SP-Creep 시험과 인장 크리프 시험의 결과를 비교한 결과가 Fig. 6에 보여진다. 그림에서 보는 바와 같이 베어링 응력을 사용한 SP-Creep의 결과와 인장 크리프 시험의 결과는 거의 일치하고 있음을 확인할 수 있다.

SP-Creep 시험에서 언급되는 문제점의 하나는 SP-Creep 시험의 특성과 인장 크리프 시험의 특성을 직접 비교하기가 곤란하다는 것이다. 즉, SP-Creep의 파단수명이 일반적인 인장크리프보다 짧게 나타났다고 해서, 단순히 단시간 혹은 고응력 크리프라고 말하기 어렵다는 것이다. 왜냐하면, 인장 크리프시험은 단축 응력상태이나,

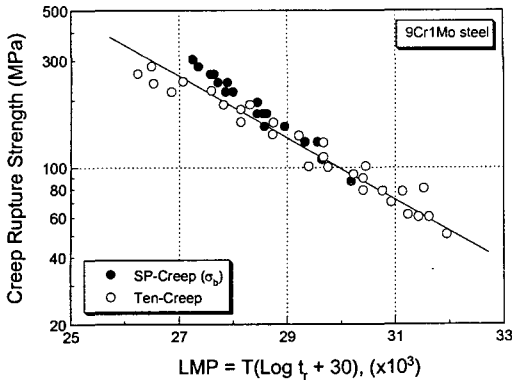


Fig. 6 Power law relationship of the SP-Creep test for 9Cr1Mo steel

SP-Creep 시험은 시험편의 원주방향과 반경방향의 응력이 동시에 작용하는 이축 응력상태이기 때문이다. 따라서 SP-Creep 시험의 상태를 판단하기 위해서는 다른 비교파라미터가 필요하며, 그 중의 하나가 응력지수이다.

일반적으로, 외력에 따른 응력지수는 크게 3가지 영역으로 분류된다. 저응력 영역에서는 약 1의 값을 보이며 입계확산에 율속하고, 중응력영역에서는 1.5~3의 값을 가지며 표면 확산에 율속하며, 고응력 영역에서는 4이상의 값을 가지며 변형에 율속한다. 중응력까지는 입계 공공의 생성 및 성장에 의해 파괴되며, 고응력영역에서는 입내 공공과 균열에 의해 파괴된다.⁽¹⁰⁾ 이러한 분류에 따라, 본 연구의 9Cr1Mo강에 대한 SP-Creep 시험의 응력지수를 식 (7)과 (8)에서 살펴보면 약 5~6의 값을 보이고 있으므로, 본 연구의 크리프 시험은 비교적 고응력 크리프에 속하며, 입내 크리프 변형에 율속한다고 말할 수 있다.

4.4 Low Cr-Mo강과의 비교

Fig. 7은 9Cr1Mo강과 더불어 기존 임계압용 발전소에 널리 사용된 1Cr0.5Mo, 2.25Cr1Mo 강의 크리프 속도를 비교한 것이다. 그림에서 보는 바와 같이 모든 강종은 응력의 증가에 따라, 크리프 속도가 대수 함수적으로 증가하는 power law 관계를 만족하고 있음을 알 수 있다. 강종을 비교하여 보면, 초임계압용 9Cr1Mo강이 가장 낮은 크리프 속도를 보여 내크리프 특성이 가장 우수함을 알 수 있어 초임계압용 재료로 적합함을 확인할 수 있다. 한편, 이들 3강종에서 2.25Cr-1Mo강이 높은 크리프 속도를 보여 크리프 특성이 가

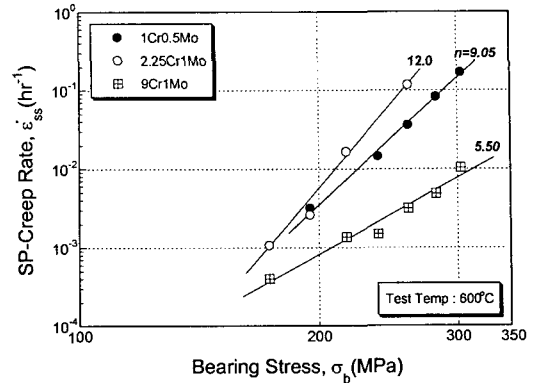


Fig. 7 Comparison of power law relationship among Cr-Mo steels

장 열악함을 알 수 있다.

일반적으로 Cr, Mo, V의 첨가에 의해 내 크리프 특성은 향상된다. Table 1에서 보면 9Cr1Mo강은 타 강종에 비해 내산화성을 향상시키는 Cr의 함량도 높고, 특히 크리프 강도를 향상시키는 V 및 기타 강화원소가 많이 함유되어 있어 타 강종에 비해 높은 내크리프 특성을 보임을 쉽게 예측할 수 있다. 그러나 2.25Cr1Mo강은 1Cr0.5Mo강에 비해 Cr 및 고온강도를 향상시키는 Mo의 함량이 높아 내크리프 특성이 더 우수하여야 하나 Fig. 7에서 보면 더 낮은 내크리프 특성을 보이고 있다. 그러한 이유는 강의 제조 후에 실시하는 강화열처리의 효과에 의한 결과로 판단된다. 발전설비 보일러의 제작에서 파이프용인 1Cr0.5Mo강은 사용 전에 Normalizing+Tempering이라는 강화열처리를 수행한 후 사용하도록 하고 있으나, 2.25Cr1Mo강은 튜브용 재료로써 강화열처리 없이 바로 사용된다. 이러한 특성은 Fig. 8의 광학현미경 조직사진에서도 확인할 수 있다. (a)의 1Cr0.5Mo강과 (c)의 9Cr1Mo강은 조질강 형태인 템퍼드 마르텐사이트 조직과 페라이트 조직으로 구성되어 조직이 매우 치밀함을 알 수 있다. 이에 반해 (b)의 2.25Cr-1Mo강은 비조질강 형태인 페라이트와 펄라이트로 구성되어 있다. 이러한 조직적인 차이에 따른 크리프 특성에 대한 영향은 Sherby⁽¹¹⁾ 등의 결과로부터 확인할 수 있다. 그들은 아결정립경의 영향을 고려한 크리프 속도식을 다음과 같이 제안하였다.

$$\dot{\epsilon} = \dot{\epsilon}_0 \left(\frac{\sigma}{E} \right)^8 \left(\frac{d_{gr}}{b} \right)^3 \frac{D}{b^2} \quad (9)$$

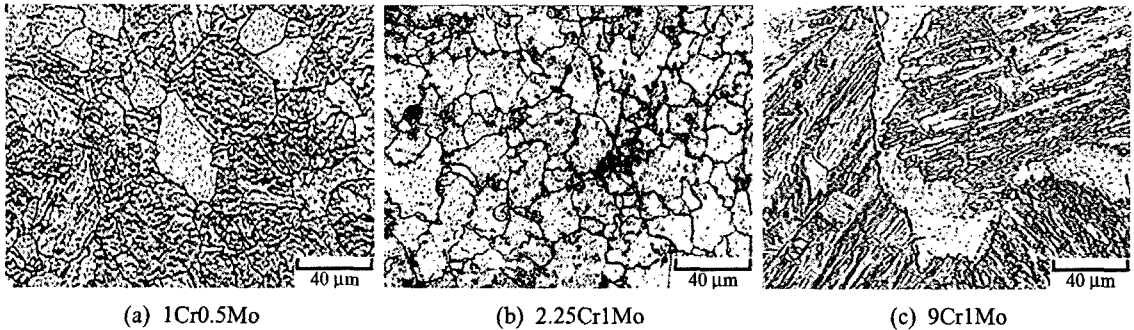


Fig. 8 Microstructures of Cr-Mo steels

여기서, ϵ_0 는 초기변형률, E 는 영계수, d_{sg} 는 아결정립경, b 는 버거스벡터, D 는 확산계수이다.

이 식에 따르면 크리프 속도는 아결정립경의 3승에 비례하며, 아결정립경이 작을수록 크리프 속도는 작아지게 된다. 결국, 1Cr0.5Mo강은 강화열처리를 수행함에 따라 조직 내에 탄화물의 증가에 의한 크리프 변형의 억제와 더불어 아결정립인 martensite lath의 존재로 인해 크리프에 대한 저항이 증가하여, 비조질강인 2.25Cr1Mo강 보다 내 크리프 특성이 좋게 나타난 것으로 판단된다. 결국, 크리프 특성은 화학적 조성뿐만 아니라 조직의 상태에도 큰 영향을 받는 것을 확인 할 수 있으며, 본 연구에서 미소 시험편을 사용한 SP-Creep 시험은 이러한 영향을 잘 반영하고 있음을 확인할 수 있다.

5. 결론

본 연구에서는 초임계압용 발전설비 재료인 9Cr1Mo강에 대한 SP-Creep 시험을 통해 크리프 특성을 평가하였으며, 그 결과를 요약하면 다음과 같다.

- (1) 미소시험편을 이용한 SP-Creep 시험을 베어링 응력과 호의 변형률을 이용하여 변환된 SP-Creep 곡선은 3단계의 크리프 거동을 명확하게 보였으며, 외력 및 시험온도에 대한 의존성을 확인할 수 있었다.
- (2) 크리프 속도와 파단 수명은 외력에 따라 대수 함수적으로 변화하는 power law관계를 만족하였으며, 응력지수는 약 5~6의 값을 보여 입내 크리프 변형에 유효함을 확인할 수 있었다.
- (3) Larson-Miller parameter로 정리된 SP-Creep 시험과 Ten-Creep 시험 결과는 잘 일치함을 확인할 수 있었다.

(4) 임계압 발전소용 1Cr0.5Mo강 및 2.25Cr1Mo강과 초임계압용 9Cr1Mo강의 크리프 속도를 비교한 결과, 9Cr1Mo강의 내 크리프 특성이 가장 우수하여 초임계압용 재료로 적합함을 확인할 수 있었다.

(5) 본 연구의 3가지 강종에 대한 SP-Creep 시험 결과 및 조직 관찰로부터, 크리프 특성은 강화원소의 함량뿐만 아니라, 열처리에 의한 조직의 변화에도 크게 영향을 받는 것을 확인할 수 있었다.

(6) 본 연구에서 제안한 SP-Creep 시험의 응력 및 변형률 환산 방법은 향후 미소시험편에 의한 Creep 시험결과와 응력-변형률 변환에 그 활용이 기대된다.

참고문헌

- (1) Klotz, U. E. and Solenthaler, C., 1999, "Alloy Composition and Mechanical Properties of 9-12% Chromium Steels with Martensitic-Austenitic Microstructure," *Materials Science & Eng.*, pp. 292~299.
- (2) Orlova A. and Bursik J., 1998, "Microstructural Development During High Temperature Creep of 9% Cr Steel," *Materials Science & Eng.*, pp. 39~48
- (3) Viswanathan, R. and Gehl, S. M., 1992, "Life-Assessment Technology for Power-Plant Component," *JOM Feb.*, pp. 34~42.
- (4) Webster, G. A. and Ainsworth, R. A., 1993, "High Temperature Component Life Assessment," *Chapman & Hall*, pp. 1~319.
- (5) Kim, H. J., Chung, Y. K. and Park, J. J., 2000, "Development of Small-Specimen Creep Tester for Life Assessment of High Temperature Components of

- Power Plant,” *Trans. of the KSME(A)*, Vol. 24, No. 10, pp. 2597~2602.
- (6) Kwon, I. H. and Yu, H. S., 2001, “Cryogenic Fracture Toughness Evaluation for Austenitic Stainless Steels by Means of Unloading Compliance Method,” *KSME International Journal*, Vol. 15, No. 1, pp. 26~34.
- (7) Dobes, F. and Milicka, K., 2002, “On the Monkman-Grant Relation for Small Punch Test Data,” *Materials Science & Engineering A*, Vol. 336, pp. 245~248.
- (8) Yang, Z. and Wang, Z., 2003, “Relationship Between Strain and Central Deflection in Small Punch Creep Specimens,” *Pressure Vessels and Piping*, Vol. 80, pp. 397~404.
- (9) Baek, S. S, Na, S. H., Na, E. G. and Yu, H. S., 2001, “Development of Evaluation Technique of High Temperature Creep Characteristics by Small Punch-Creep Test Method,” *Trans. of the KSME(A)*, Vol. 25, No. 12, pp. 1995~2001.
- (10) 丸山公一, 中島英治, 2002, “高温強度の材料科學,” 内田老鶴圃, pp. 100~120.
- (11) Sherby, O. D., Klundt, R. H. and Miller, A. K., 1977, “Flow Stress, Subgrain Size, and Subgrain Stability at Elevated Temperature,” *Metall. Trans. A*, Vol. 8, pp. 843~850.